

## Electrochemical determination of malondialdehyde biomarker in exhaled breath condensate using poly arginine functionalized by graphene quantum dots and chitosan

Fozieh Mokhtari<sup>1</sup>, Mohammad Hasanzadeh<sup>2\*</sup> , Ahad Mokhtarzadeh<sup>3</sup>, Nasrin Shadjou<sup>4</sup>

<sup>1</sup>Pharmaceutical Analysis Research Center, Tabriz University of Medical Sciences, Tabriz, Iran

<sup>2</sup>Drug Applied Research Center, Tabriz University of Medical Sciences, Tabriz, Iran

<sup>3</sup>Immunology Research Center, Tabriz University of Medical Sciences, Tabriz, Iran

<sup>4</sup>Nano Technology Research Center, Urmia University, Urmia, Iran

\*Corresponding author; E-mail: mhmmmd\_hasanzadehm@yahoo.com hasanzadehm@tbzmed.ac.ir

Received: 19 August 2017      Accepted: 4 November 2017    First Published online: 4 July 2019

Med J Tabriz Uni Med Sciences Health Services. 2019 August- September; 41(3):85-94

### Abstract

**Background:** Lipid peroxidation is a prominent manifestation of free radical activity in biological systems, and it is involved in the development of different diseases such as cancer or cardiovascular and liver diseases. Malondialdehyde (MDA) is globally recognized as a scientifically accepted biomarker of oxidative stress. Due to the significance of MDA as a marker of lipid peroxidation and because of its elevations in various diseases, the assessment of MDA with new and reliable assays, the development of a fast, sensitive, and selective method to detect MDA with simple instruments is necessary.

**Methods:** This study used the electro polymerization of a low toxic and biocompatible polymer with entitle poly arginine-graphene quantum dots-chitosan (PARG-GQDs-CS) as a novel strategy for surface modification of glassy carbon (GC) surface and preparation a new interface for measurement of MDA in human exhaled breath condensate (EBC). Nanocomposite PARG/CS/GQDs the method of precipitation out of place (*ex situ*) on the electrode surface was prepared. To verify sequestration nanobiopolymer synthesized Scanning electron microscope images (SEM) were recorded. To identify and study the behavior of malondialdehyde electrochemical methods such as cyclic voltammetry and differential pulse voltammetry were used.

**Results:** The scanning electron microscopy (SEM) images indicated immobilization of uniformly CS and GQDs onto PARG film. The modified electrode appeared as an effective electro activity for detection of MDA. Under the optimized analysis conditions and physiological pH, the prepared sensor showed one oxidation processes for MDA at potentials about 1 V vs. Ag/AgCl with a low limit of quantification (LLOQ) 5.94 nM.

**Conclusion:** The Glassy carbon electrod modified by poly-arginine/chitosan/graphene quantum dots, has good electrical activity for Electro-oxidation malondialdehyde that could be due to synergistic effect poly-arginine, graphene quantum dots and chitosan to create many active sites for this purpose.

**Keyword:** Malondialdehyde, Biomarker, Poly amino acid, Chitosan, Graphene quantum dots, Nanosensor, Electrochemistry.

**How to cite this article:** Mokhtari F, Hasanzadeh M, Mokhtarzadeh A, Shadjou N .[Electrochemical determination of malondialdehyde biomarker in exhaled breath condensate using poly arginine functionalized by graphene quantum dots and chitosan]. Med J Tabriz Uni Med Sciences Health Services. 2019 August- September; 41(3):85-94. Persian.

## مقاله پژوهشی

### تعیین مقدار الکتروشیمیایی بیومارکر مالون دی آلدھید در نمونه‌های بازدم انسانی با استفاده از پلی‌آرژینین عامل‌دار شده با نقاط کوانتومی گرافن و کیتوسان

فوزیه مختاری<sup>۱</sup>، محمد حسن زاده<sup>۲\*</sup>، احمد مختارزاده<sup>۲</sup>، نسرین شادجو<sup>۲</sup>

<sup>۱</sup> مرکز تحقیقات آنالیز داروئی، دانشگاه علوم پزشکی تبریز، تبریز، ایران

<sup>۲</sup> مرکز تحقیقات آیمونولوژی، دانشگاه علوم پزشکی تبریز، تبریز، ایران

<sup>۳</sup> پژوهشکده نانو فناوری، دانشگاه ارومیه، ارومیه، ایران

\* نویسنده مسؤول؛ ایمیل: mhmmmd\_hasanzadeh@yahoo.com hasanzadehm@tbzmed.ac.ir

دریافت: ۱۳۹۶/۵/۲۸ پذیرش: ۱۳۹۶/۸/۱۳ انتشار پرخط: ۱۳۹۸/۴/۱۳  
مجله پژوهشی دانشگاه علوم پزشکی و خدمات بهداشتی - درمانی تبریز، مرداد و شهریور ۱۳۹۸، ۴۱(۳):۸۵-۹۴

#### چکیده

زمینه: پراکسیداسیون لبیدی یک شاخص مهم فعالیت رادیکال‌های آزاد در سیستم‌های بیولوژیک است و در ایجاد بیماری‌های مختلف مانند سرطان، بیماری‌های قلبی و عروقی و کبدی مشارکت دارد. مالون دی آلدھید یکی از فراورده‌های مهم پراکسیداسیون لبیدی است و به عنوان بیومارکر تشخیصی استرس اکسیداتیو به صورت جهانی پذیرفته شده است. با توجه به اهمیت مالون دی آلدھید به عنوان یک بیومارکر تشخیصی پراکسیداسیون لبیدها و به دلیل جایگاه آن در بیماری‌های مختلف، تشخیص مالون دی آلدھید با ایزار ساده کار ضروری است.

روش کار: در این مطالعه کاربرد الکتروشیمیایی الکتروود کربن شیشه‌ای اصلاح شده با نانوکامپوزیت پلی‌آرژینین/کیتوسان/ نقاط کوانتومی گرافن به عنوان پلیمری زیست سازگار و با سیمیت کم برای اندازه‌گیری مالون دی آلدھید در نمونه‌های بازدم انسانی برسی شد. نانوکامپوزیت پلی‌آرژینین/کیتوسان/ نقاط کوانتومی گرافن به روش ترسیب خارج از محل بر سطح الکتروود تهیه شد. برای تأیید ترسیب نانوپلیمر ستر شده، تصاویر میکروسکوپ الکترونی روبشی ثبت گردید. جهت تشخیص و بررسی رفتار مالون دی آلدھید از تکنیک‌های الکتروشیمیایی همچون ولتاگری پلاس تفاضلی استفاده شد.

یافته‌ها: نتایج حاصل از تصاویر میکروسکوپ الکترونی ثابت می‌کند که پراکنده‌گی نقاط کوانتومی گرافن و کیتوسان بر روی سطح پلی‌آرژینین با موفقیت انجام شده است. الکتروود اصلاح شده فعالیت الکتریکی مناسبی برای تشخیص مالون دی آلدھید نشان می‌دهد. کمترین حد تعیین مقدار برای مالون دی آلدھید در شرایط pH فزیولوژیک و پتانسیل حدود ۱ ولت نسبت به Ag/AgCl می‌باشد. میلی مولار محاسبه شد.

نتیجه گیری: نتایج نشان می‌دهد که الکتروود کربن شیشه‌ای اصلاح شده با پلی‌آرژینین/کیتوسان/ نقاط کوانتومی گرافن، فعالیت الکتریکی خوبی برای الکترواکسیداسیون مالون دی آلدھید نشان می‌دهد که می‌تواند ناشی از اثر هم‌افزایی پلی‌آرژینین، نقاط کوانتومی گرافن و کیتوسان در ایجاد سایت‌های فعال فراوان برای این منظور باشد.

**کلید واژه‌ها:** مالون دی آلدھید، بیومارکر، پلی‌آمینواسید، کیتوسان، نقاط کوانتومی گرافن، نانو حسگر، الکتروشیمی

نحوه استناد به این مقاله: مختاری ف، حسن زاده م، مختارزاده ا، شادجو ن. تعیین مقدار الکتروشیمیایی بیومارکر مالون دی آلدھید در نمونه‌های بازدم انسانی با استفاده از پلی‌آرژینین عامل‌دار شده با نقاط کوانتومی گرافن و کیتوسان. مجله پژوهشی دانشگاه علوم پزشکی و خدمات بهداشتی - درمانی تبریز. ۱۳۹۸؛ ۴۱(۳):۸۵-۹۴.

حق تألیف برای مؤلفان محفوظ است.

این مقاله با دسترسی آزاد توسط دانشگاه علوم پزشکی و خدمات بهداشتی - درمانی تبریز تحت مجوز کریپتو کامنز (CC BY 4.0) (http://creativecommons.org/licenses/by/4.0) منتشر شده که طبق مفاد آن هرگونه استفاده تنها در صورتی مجاز است که به اثر اصلی به نحو مقتضی استناد و ارجاع داده شده باشد.

## مقدمه

تاکنون روش‌های مختلفی جهت تشخیص مالون دی آلدھید به منظور کمی کردن سطح استرس اکسیداتیو در بدن و شرایط آزمایشگاهی توسعه یافته است. تکنیک‌های تحیلی مختلفی جهت تعیین مالون دی آلدھید در نمونه‌های بیولوژیک استفاده شده است، این روش‌ها شامل فلورسانس، کروماتوگرافی مایع با عملکرد بالا با تشخیص آرایه دیود، گاز کروماتوگرافی با طیف سنجی جرمی، طیف سنجی ارتقا یافته سطحی رامان، آشکارسازی رسانای الکتریکی، الکتروفورز مویین و زیست حسگرهای الکتروشیمیایی هستند. روشنی که به طور گسترده استفاده می‌شود براساس تشخیص رنگ محصولات واکنش مالون دی آلدھید با تیوباریتوريک اسید (TBA) می‌باشد. اشکال این روش این است که تیوباریتوريک اسید تنها با مالون دی آلدھید واکنش نمی‌دهد بلکه با بسیاری دیگر از مواد شیمیایی مانند اسیدهای آمینه، اسیدهای نوکلئیک، پروتئین‌ها و کربوهیدرات‌ها نیز واکنش می‌دهد، این عامل باعث اختلال در تشخیص ترکیب مالون دی آلدھید-تیوباریتوريک اسید می‌گردد. به علاوه تیمار نمونه‌های بیولوژیک در دمای بالا و شرایط اسیدی انجام می‌شود که این باعث می‌شود اکسیداسیون ماتریکس بیشتر اتفاق بیافتد و بنابراین اختلاف در تخمین سطح مالون دی آلدھید رخ دهد. بسیاری از روش‌های گروماتوگرافی اختصاصی و حساسیت بالایی دارند. با این حال نیاز به فرآیندهای استخراج به وسیله کارکنان متخصص، تمیز کردن و بازسازی ستون، استفاده از تجهیزات گران قیمت، آماده کردن نمونه، به ویژه زمانی که از نمونه‌های بیولوژیک استفاده می‌شود، دارند (۱). با توجه به اهمیت مالون دی آلدھید به عنوان یک بیومارکر تشخیصی پراکسیداسیون لیپیدها و به دلیل اهمیت آن در بیماری‌های مختلف تشخیص مالون دی آلدھید با ابزار ساده کار ضروری است. بوان و همکاران یک حسگر الکتروشیمیایی بدون برچسب بر اساس نانولوله‌های کربنی جهت تشخیص مالون دی آلدھید تولید کردند (۵). حسن‌زاده و همکاران از یک فیلم پلی‌تورین به عنوان نانوپیوسنسور الکتروشیمیایی جهت تشخیص مالون دی آلدھید در نمونه سرم و هوای بازدم انسان استفاده کردند (۱). در سالهای اخیر، الکترودهای اصلاح شده به وسیله فیلم‌های پلیمری توجه زیادی را به خود جلب کرده است. به جهت کاربردهای گسترده آنها در زمینه حسگرهای الکتروشیمیایی این چنین فیلم‌های پلیمری می‌توانند باعث بهبود خواص الکتریکی آنالیت، افزایش نرخ فعالیت و بهبود پایداری الکترود شوند (۶). تا به حال روش‌های گوناگونی برای تهیه الکترودهای اصلاح شده به وسیله فیلم‌های پلیمری از جمله پوشش‌دادن، پیوندکوالانسی و الکتروپلیمریزیشن استفاده شده است (۱۰-۷). در میان این روش‌ها، الکتروپلیمریزاسیون مولکول‌های آلتی و به خصوص اسیدهای آمینه با گروه‌های عاملی مناسب ( $\text{COOH}$ ,  $\text{NH}_2$ ,  $\text{OH}$ ,  $\text{SH}$  وغیره) به عنوان یک ابزار مناسب برای آماده کردن پلیمر سطح الکترود مطرح است چون این روش‌ها به راحتی توسط تنظیم فاکتورهای الکتروشیمیایی کنترل می‌شوند. براساس

پراکسیداسیون لیپیدی، شاخص مهم فعالیت رادیکال‌های آزاد در سیستم‌های بیولوژیک می‌باشد و در ایجاد بیماری‌های مختلف مانند سرطان، بیماری‌های قلبی و عروقی و کبدی نقش دارد. مالون دی آلدھید، یکی از فراورده‌های مهم پراکسیداسیون لیپیدی است و به عنوان بیومارکر تشخیصی استرس اکسیداتیو به صورت جهانی پذیرفته شده است (۱). مالون دی آلدھید به عنوان بیومارکر پراکسیداسیون لیپیدی و همچنین علت بیماری‌های خطرناکی مثل سرطان معده، ریه، پستان و آترواسکلروز و بیماری‌های قلبی و عروقی مطرح می‌باشد. علاوه بر این سطوح مالون دی آلدھید در موجودات زنده جهت مشخص کردن تغییرات مهم در بسیاری از شرایط پاتولوژیک مثل سرطان‌های پستان، ریه، معده و آترواسکلروز و بیماری‌های قلبی و عروقی به کار می‌رود (۱). اهمیت تشخیص مالون دی آلدھید در سرم یا پلاسمای انسان می‌تواند از بسیاری از جنبه‌ها مطرح شود. پراکسیداسیون لیپیدی عموماً یک فرآیند ناشی از حمله اکسیدانهایی از قبیل رادیکال‌های آزاد یا انواع غیررادیکالی به لیپیدهای دارای باند دو گانه کربن-کربن به خصوص اسیدهای چرب غیراشتعاب (PUFAs) می‌باشد (۲). پراکسیداسیون لیپیدی یا واکنش اکسیژن با لیپیدهای غیراشتعاب طیف گسترده‌ای از محصولات اکسیداسیون را تولید می‌کند. در این میان بسیاری از آلدھیدهای مختلف که می‌توانند به عنوان محصولات ثانویه در طول پراکسیداسیون لیپیدی تولید شوند، مالون دی آلدھید، پروپانال، هگزانال، ۴-هیدروکسی نونال، به طور گسترده توسط استریایر و همکاران در دهه ۸۰ مورد مطالعه قرار گرفته است. به نظر می‌رسد که مالون دی آلدھید بیشترین محصول جهش‌زای پراکسیداسیون لیپیدی است. برخلاف رادیکال‌هایی که به بیومولکول‌های واقع در فاصله چند نانومتری از محل تولید خود حمله می‌کنند، آلدھیدهای مشتق از پراکسیداسیون لیپیدی می‌توانند به راحتی از طریق غشای منتشر شده و بصورت کووالانسی در پروتئین‌های موجود در سیتوپلاسم و هسته، دور از منشا تولیدشان، تغییر ایجاد کنند (۳). تحت شرایط فیزیولوژیک یا میزان پایین پراکسیداسیون لیپیدی (شرایط غیرسمی) سلولها بقاء خود را از طریق تشکیل سیستم‌های دفاع آنتی‌اکسیدانی یا فعالسازی مسیرهای سیکتالینگ تحریک می‌کنند. در مقابل، در پراکسیداسیون‌های لیپیدی متوسط یا بالا (شرایط سمی) سلول‌ها آپوپتوز یا نکروز (مرگ برنامه‌ریزی شده سلول) را القا می‌کنند، که هر دو فرآیند سرانجام منجر به آسیب سلولی می‌شود که می‌تواند باعث تسهیل انواع مختلف حالت‌های پاتولوژیک و تسریع روند پیری شود. مالون دی آلدھید یا ۳-پروپان دی ال به علت ویژگی‌های کربونیلی از نظر شیمیایی واکنش پذیر است و به راحتی تحت اسیدیتیه ناشی از اتم‌های هیدروژن، و (۲) واکنش پذیری دو شامل DNA و آمینو اسیدهای موجود در پروتئین‌ها قرار می‌گیرد. خواص شیمیایی مالون دی آلدھید را می‌توان به دو دسته تقسیم کرد: (۱) اسیدیتیه ناشی از اتم‌های هیدروژن، و (۲) واکنش پذیری دو گروه آلدھید آن نسبت به هسته‌های نوکلئوفیل (۴). از سال ۱۹۶۰

pH=۷/۴ استفاده شد، که بعد از تهیه در یک محیط تاریک و در دمای ۴ درجه سانتی گراد نگهداری شد. دی پتاسیم فسفات و مونو پتاسیم فسفات از شارلو (Scharlau) به دست آمد. آب مقطر از شرکت دارویی قاضی (تبریز، ایران) خریداری شد. محلول استاندارد ۰/۱ میلی مولار مالون دی الدهید به صورت روزانه جهت بررسی تست های مختلف تهیه شد.

کلیه آزمایش های الکتروشیمیایی در یک سل سه الکترودی که شامل الکترود پلاتین، نقره/کلرید نقره، کربن شیشه ای به ترتیب به عنوان الکترودهای کمکی، مرجع و کار، متصل به یک سیستم اندازه گیری AUTOLAB با پتانسیو استات/گالوانو استات مدل PGSTAT302N محصول شرکت Eco Chemie هلند انجام شد. سیستم توسط کامپیوتر با استفاده از نرم افزار NOVA1.7 کنترل شد. الکترود کار، کربن شیشه ای با ضخامت ۲ میلی متر (شرکت آذر الکترود، ایران) بود. مورفولوژی سطح الکترود اصلاح شده با دستگاه SEM (میکروسکوپ الکترونی روبشی) مارک Tescan MIRA3FEG/SE ساخت کمپانی کشور چک مورد بررسی قرار گرفت. یکی از روش هایی که طی سال های اخیر بررسی بروزی بیومارکرها مورد توجه قرار گرفته، آنالیز هوای بازدمی می باشد (۲۸). استفاده از هوای بازدمی علاوه بر اینکه می تواند به خوبی گویای وضعیت فیزیولوژیک فرد باشد، غیر تهاجمی بوده و مورد مقبولیت بیمار نیز است. وجود مارکرهای مختلف استرس اکسیداتیو از قبیل محصولات مختلف پراکسیداسیون لیپیدی در هوای بازدمی در سال های اخیر مورد بررسی قرار گرفته است مطالعات متعددی تا کنون به بررسی میزان مالون دی الدهید در هوای بازدمی افراد با بیماری های مختلف پرداخته اند (۲۹-۳۰). نمونه های هوای بازدم مایع شده از داوطلبان سالم (بدون سابقه هر گونه بیماری، عدم استعمال دخانیات، الكل، کافئین، و دارو) با استفاده از دستگاه نمونه گیری بازدم ثبت شده در دفتر ثبت اختراع ملی، در مرکز تحقیقات کاربردی دارویی دانشگاه علوم پزشکی تبریز در مهر سال ۹۵ جمع آوری شد. هوای بازدم تا دمای ۲۵- درجه سانتی گراد خنک و تغییض شد. ۱ میلی لیتر نمونه بازدم انسانی مایع شده از یک داوطلب سالم به فلاسک به حجم ۱۰ میلی لیتر مستقل شد. جهت تهیه نانو کامپوزیت پلی آرژینین/کیتوسان/ نقاط کواتنومی گرافنی ابتدا الکترود کربن شیشه ای با قطر ۲ میلی متر با استفاده از الومینی ۰/۳ و ۰/۵ میکرومتر صیقل داده شد و برای از بین بردن آلودگی های سطحی از محلول آلومینا و به طور کامل دو بار با آب دیونیزه شده شستشو داده شد. سپس به طور پی در پی در استون و آب مقطر به صورت التراسوند قرار گرفته و اجازه داده شد در دمای اتاق خشک شود. ابتدا ۵ میلی لیتر از محلول آرژینین ۰/۵ میلی مولار برداشته و به داخل سل الکتروشیمیایی انتقال داده می شود. با استفاده از تکنیک ولتاوری چرخه ای، پلی آرژینین بر روی الکترود کربن شیشه ای در پتانسیل ۱/۵ تا ۲ ولت و با سرعت رویش ۱۰۰ میلی ولت بر ثانیه و با تکرار ۲۰ چرخه لایه نشانی می شود. سپس در مرحله دوم بعد از شستشوی الکترود با آب مقطر، ۱۰ میلی لیتر از محلول کیتوسان به

ویژگی های الکترودهای اصلاح شده به وسیله پلیمرها به خوبی می توان ضخامت و بار این پلیمرها را تعریف کرد. همچنین آماده کردن این حسگرها به دلیل تهیه آسان به روشن الکتروپلیمریزاسیون، کم هزینه می باشد (۱۶-۱۱). تلفیق مزایای نانوساختارها با تکنیک های الکتروشیمیایی در زیست حسگرها در سال های اخیر موجب پیشرفت های چشمگیر در حساسیت و قدرت آنالیزی این سیستم ها شده است. اثبات شده است که با بکار گیری مواد پیشرفت همچون نانو لوله های کربنی، مزوپروس های سیلیکاتی، گرافن و مشتقات آنها، نقاط کواتنومی و... در ساختار نانو حسگرها، کارایی به لحاظ سرعت، دقت، میزان آنالیت مصرفی و توان عملیاتی افزایش می یابد (۱۷). یکی از بهترین نامزدها برای این منظور نقاط کواتنومی گرافنی است. نقاط کواتنومی گرافنی بدلیل داشتن ویژگی های عالی نظری خاصیت فوتولومینسانس و فلورسانس مطلوب، حلالیت در محلول های آبی، سمیت پایین، زیست سازگاری (۱۸) و خصوصیات منحصر به فرد دیگری همچون خصلت مکانیکی، الکتریکی، دمایی، اپتیکی، مساحت سطحی بسیار بالا و امکان کنترل تمام این ویژگی ها از طریق عاملدار کردن شیمیایی، مورد توجه محققین می باشد (۱۹). از سوی دیگر، رسوب نقاط کواتنومی گرافنی بر روی برخی از مواد پلیمری توجه زیادی به خود جذب کرده است. با این حال، فیلمهای پلیمری بر اساس اسیدهای آمینه بسیار شکننده هستند، در نتیجه استفاده از بتا سیکلودکسترین و کیتوسان و سایر مواد محکم برای بی حرکتی نقاط کواتنومی گرافنی در سطح پلیمر مطرح شده است (۲۱). کیتوسان از فراوان ترین آمینوپلی ساکاریدها در طبیعت، دارای ساختاری بی نظری و خصوصیات چند منظوره می باشد. کیتوسان توجه زیادی را به خصوص در صنایع پزشکی و دارویی به خود جلب کرده است. از مهمترین خصوصیاتی که آن را مناسب برای این کاربردها کرده است می توان به زیست سازگاری، زیست تخریب پذیری و غیرسمی بودن آن اشاره کرد. کیتوسان معمولاً به دلیل توانایی تشکیل فیلم، نفوذپذیری بالای آب، انتقال یونی سریع و قابلیت چسبندگی به سطوح هیدروفیل و سهولت تغییرات شیمیایی و به دلیل حضور گروه های آمینی و هیدروکسیل به عنوان ماتریکس ساکن برای توسعه حسگر انتخاب می شود (۲۲-۲۵). اضافه کردن نقاط کواتنومی گرافنی و کیتوسان به ساختار پلی آرژینین می تواند یک فیلم نازک رسانای الکتریکی عالی در جهت تقویت جریان فارادی ایجاد کند (۲۶، ۲۷). در نتیجه در این مطالعه یک رابط سازگار با محیط زیست و با سمیت کم از پلی آرژینین/کیتوسان/ نقاط کواتنومی گرافنی به عنوان نانو کامپوزیت سه تایی با استفاده از روش های الکتروشیمیایی تهیه و فعالیت الکتریکی آن نسبت به الکترو اکسیداسیون MDA بررسی خواهد شد.

## روش کار

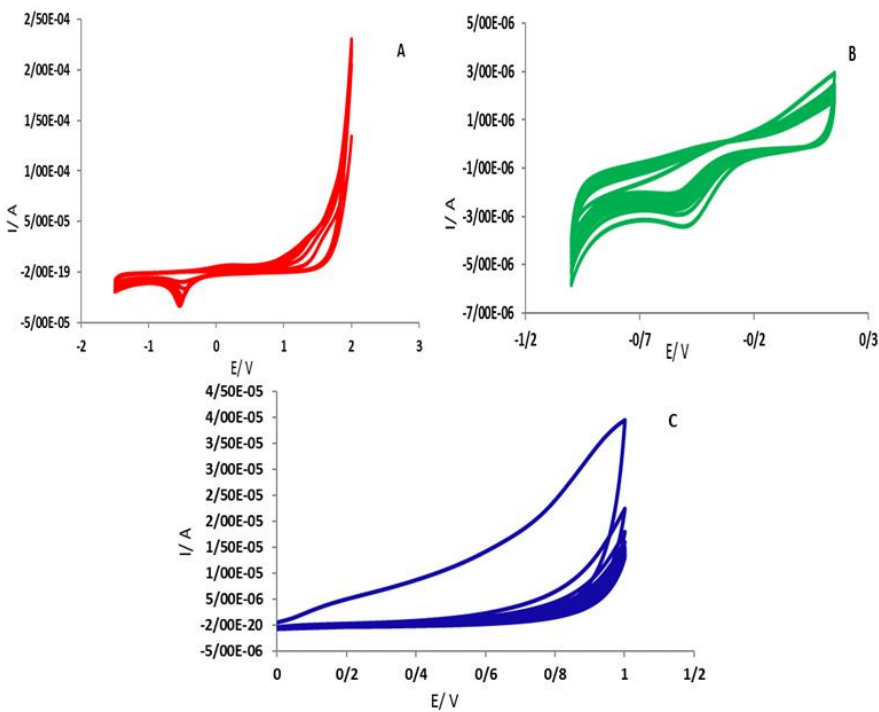
در این پژوهش، ال آرژینین از سیگما آلدیچ تهیه شد. در تمامی قسمت های این مطالعه از محلول بافر فسفات ۰/۰ مولار با

جانبی آمینی و هیدروکسیل پیوند داده و منجر به تشکیل شبکه‌های متمایز بین زنجیره‌های کیتوسان شود. لذا در ادامه کار کیتوسان و بدنبال آن نقاط کوانتمومی گرافنی بر روی سطح پلی‌آرژینین ترسیب شدند. تصویرهای به دست آمده از میکروسکوپ الکترونی رویشی، تشکیل فیلم پلیمری در سطح الکترود را نشان می‌دهد. الکتروپلیمریزاسیون مستقیم پلی‌آرژینین بر روی الکترود کربن شیشه‌ای به صورت یک ماتریکس با پراکندگی مشاهده می‌شود (شکل A-۲). همچنین اندازه ذرات در نواحی مختلف تعیین شده که میانگین آن در حدود ۲۵ نانومتر می‌باشد. لذا فیلم پلی‌آرژینین در مقیاس نانومتری بر روی سطح الکترود کربن شیشه‌ای پلیمریزه می‌شود. گروه‌های حاوی آمین در کیتوسان می‌تواند مقدار زیادی سایت‌های فعال برای رسوب بر روی نقاط کوانتمومی گرافنی فراهم کند. از طرف دیگر گروه‌های حاوی اکسیژن بر روی نقاط کوانتمومی گرافنی برای ترکیب الکترون‌های خارجی با کیتوسان از دیدگاه نقطه الکترواستاتیک مفید هستند. در نتیجه، با برهمکنش باند هیدروژن پلی‌آرژینین با کیتوسان و به دنبال آن برهمکنش الکترواستاتیک کیتوسان با نقاط کوانتمومی گرافنی، یک فیلم با سمیت کم و زیست سازگار بر روی سطح الکترود کربن شیشه‌ای ساخته می‌شود.

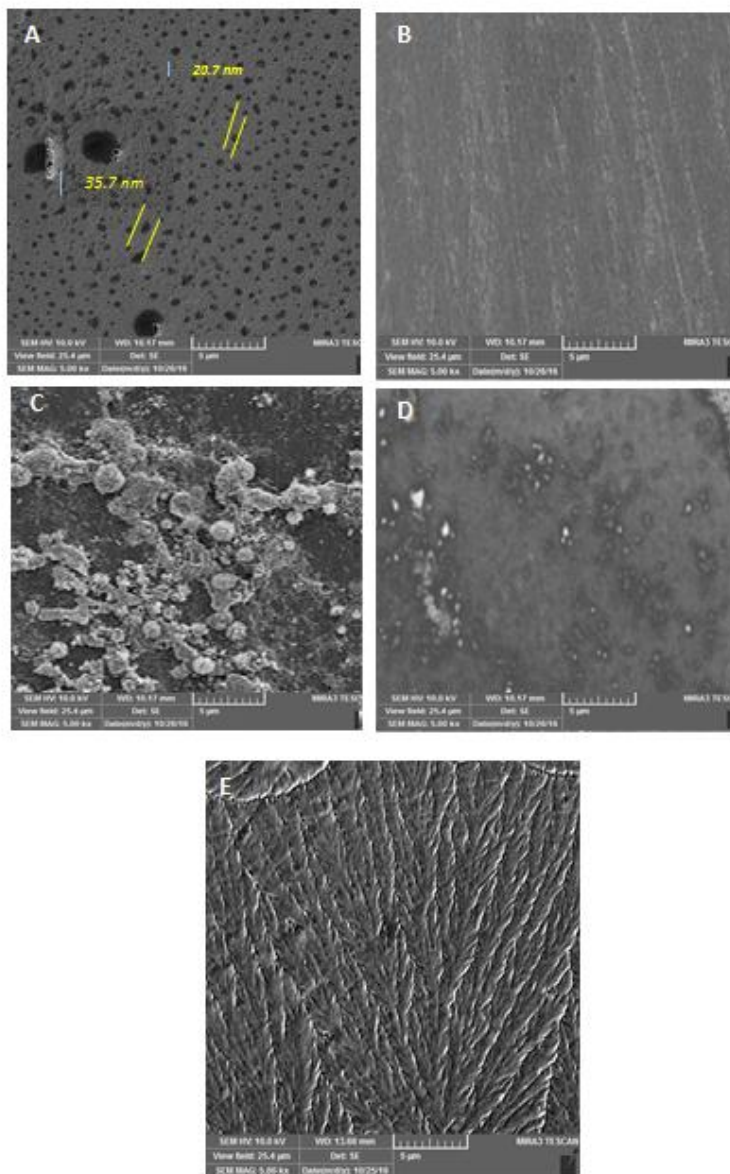
داخل سل الکتروشیمیایی انتقال می‌دهیم. توسط تکنیک ولتاویری چرخه‌ای در پتانسیل -۱۰/۱۵ تا ۱۰/۱۵ ولت با سرعت رویش ۱۰۰ میلی‌ولت بر ثانیه و با تکرار ۲۰ چرخه کیتوسان بر روی الکترود لایه نشانی می‌شود. در مرحله آخر مانند مرحله قبل بعد از شستشوی الکترود با آب مقطر و انتقال محلول نقاط کوانتمومی گرافنی به سل، نقاط کوانتمومی گرافنی با تکنیک ولتاویری چرخه‌ای، در محدوده پتانسیل -۱۰ تا ۱ ولت و سرعت رویش ۱۰۰ میلی‌ولت بر ثانیه، با تکرار ۳۰ چرخه نیز بر روی الکترود لایه نشانی می‌شود. الکترودهای اصلاح شده با پلی‌آرژینین و پلی‌آرژینین/ نقاط کوانتمومی گرافنی نیز به طور جداگانه تهیه و نتایج حاصل از سه الکترود اصلاح شده باهم مقایسه می‌گردد.

### یافته

شکل A-۱ ولتاویر چرخه‌ای پلیمریزاسیون الکتروشیمیایی ال-آرژینین بر روی سطح الکترود کربن شیشه‌ای را نشان می‌دهد. ال-آرژینین دارای دو گروه  $\text{NH}_2$  و دو گروه NH می‌باشد که می‌توانند به راحتی به  $\text{NH}_2$  اکسید شوند؛ بنابراین پیوند کوالانسی (C-N) ممکن است بین الکترود کربنی و گروه آلفا آمین از آرژینین تشکیل شده باشد. با عنایت به اینکه کیتوسان آبلوست است، لذا می‌تواند با نقاط کوانتمومی گرافنی از طریق گروه‌های



شکل ۱: A) ولتاویر چرخه‌ای برای پلیمریزاسیون الکتروشیمیایی ال-آرژینین بر روی سطح الکترود کربن شیشه‌ای با سرعت رویش ۱۰۰ میلی‌ولت بر ثانیه در محدوده -۱۰/۱۵ تا ۱۰/۱۵ ولت با تعداد ۱۰ چرخه. B) ولتاویر چرخه‌ای برای پلیمریزاسیون الکتروشیمیایی کیتوسان بر روی سطح الکترود کربن شیشه‌ای با سرعت رویش ۱۰۰ میلی‌ولت بر ثانیه در محدوده -۱۰/۱۵ تا ۱۰/۱۵ ولت با تعداد ۲۰ چرخه. C) ولتاویر چرخه‌ای برای ترسیب الکتروشیمیایی نقاط کوانتمومی گرافنی بر روی سطح الکترود کربن شیشه‌ای با سرعت رویش ۱۰۰ میلی‌ولت بر ثانیه در محدوده -۰ تا ۱ ولت با تعداد ۳۰ چرخه.



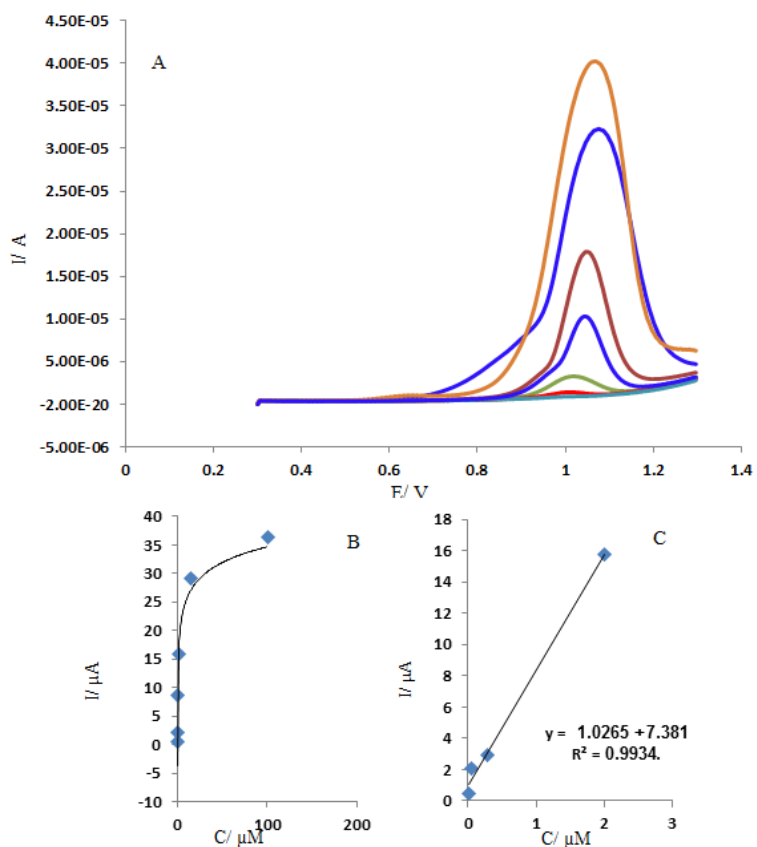
شکل ۲: تصاویر میکروسکوپ الکترونی روبشی از الکترود کربن شیشه‌ای اصلاح شده با پلی آرژینین (A) و از سطح الکترود کربن شیشه‌ای (B). الکترود کربن شیشه‌ای اصلاح شده با پلی آرژینین / نقاط کوانتمومی گرافنی (C) و الکترود کربن شیشه‌ای اصلاح شده با نقاط کوانتمومی گرافنی (D) و الکترود کربن شیشه‌ای اصلاح شده با پلی آرژینین / کیتوسان / نقاط کوانتمومی گرافنی (E).

می‌باشد. این نتایج نشان می‌دهد که الکترود اصلاح شده با پلی آرژینین/کیتوسان / نقاط کوانتمومی گرافنی عملکرد بهتری برای اکسیداسیون مالون دی آلدهید نسبت به الکترود اصلاح شده با نقاط کوانتمومی گرافنی و الکترود اصلاح شده با پلی آرژینین ارائه می‌دهد. از مطالب بالا می‌توان نتیجه گرفت که نقاط کوانتمومی گرافنی و کیتوسان می‌تواند یک مرکز شتاب برای انتقال الکترون را ایجاد کند. این نتایج نشان می‌دهد که فیلم پلی آرژینین/کیتوسان / نقاط کوانتمومی گرافنی می‌تواند باعث تسريع انتقال الکترون مالون دی آلدهید و فعالیت‌های الکتروکاتالیتیکی برای واکنش‌های

ولتاژوگرام‌های چرخه‌ای الکترود کربن شیشه‌ای اصلاح شده با نقاط کوانتمومی گرافنی، الکترود کربن شیشه‌ای اصلاح شده با پلی آرژینین و الکترود کربن شیشه‌ای اصلاح شده با پلی آرژینین/کیتوسان / نقاط کوانتمومی گرافنی، در حضور ۵ میلی لیتر بافر فسفات با  $pH=7/4$  و ۱ میلی لیتر محلول استاندارد مالون دی آلدهید در محدوده پتانسیلی -۱ تا ۱ ولت با سرعت روبش ۱۰۰ میلی ولت بر ثانیه ثبت گردید. نتایج نشان دادند که بر روی الکترود کربن شیشه‌ای اصلاح نشده هیچ رفتار اکسیداسیون و کاهشی مشاهده نمی‌شود که نشان دهنده عدم فعالیت الکتروکاتیویته آن

کمتر مالون دی آلدھید و با جریان زمینه کمتر نسبت روش ولتاوتمتری چرخه‌ای بدست آمد. با توجه به نتایج به دست آمده، از این تکنیک برای تجزیه و تحلیل کمی مالون دی آلدھید استفاده شد. شکل ۳، ولتاوتمتری پالس تفاضلی الکترود کربن شیشه‌ای اصلاح شده با پلی آرژینین/کیتوسان/ نقاط کوانتمومی گرافنی برای تعیین مقدار مالون دی آلدھید در بافر فسفات ۰/۱ مولار با pH=۷/۴ در غلظت‌های مختلف را نشان می‌دهد. منحنی کالیبراسیون مالون دی آلدھید در بافر فسفات، توسط ولتاوتمتری پالس تفاضلی بدست آمد (شکل ۳- B و C-۳). کمترین حد تعیین مقدار (LLOQ) برای مالون دی آلدھید، ۵/۹۴ میلی مولار محاسبه شد. نتایج نشان می‌دهد که فیلم پلی آرژینین/کیتوسان/ نقاط کوانتمومی گرافنی، فعلیت الکتریکی خوبی برای اکسیداسیون مالون دی آلدھید نشان می‌دهد که می‌تواند ناشی از اثر هم‌افراطی پلی آرژینین، نقاط کوانتمومی گرافنی و کیتوسان در ایجاد سایت‌های فعل اوازان باید این منظور باشد.

اکسیداسیون و احیا، باشد. بنابراین فیلم پلی آرژینین/کیتوسان / نقاط کوانتمی گرافنی یک حداوسط مناسب برای انتقال الکترون بین مالون دی آلدهید و الکترود کار می‌باشد که ممکن است با مشخصات مناسب آن مثل مساحت سطح هندسی بالا و رسانایی الکتریکی بالا مرتب باشد. در این شکنی نیست که نقاط کوانتمی گرافنی و کیتوسان نقش مهمی را جهت بهبود فعالیت الکتروکاتالیتی پلی آرژینین جهت الکترواکسیداسیون مالون دی آلدهید بازی می‌کنند. نقاط کوانتمی گرافنی و کیتوسان به عنوان یک جزء فعل الکتریکی در فیلم پلیمری، یک سطح کاتالیستی برای تشخیص مالون دی آلدهید ایجاد می‌کند. در ضمن کیتوسان می‌تواند تقویت سیگنال‌های الکتروشیمیایی به وجود آمده در طول فرآیند تشخیص الکتروشیمیایی را ایجاد کند. از طرف دیگر، اثر هم‌افزائی استفاده همزمان از نقاط کوانتمی گرافنی و کیتوسان منجر به تشخیص موقوتی آمیز و تعیین مالون دی آلدهید می‌گردد. از روش ولتاویری پالس تفاضلی برای تشخیص مالون دی آلدهید استفاده شد زیرا پیک‌های واضح‌تر و بهتر در غلظت‌های



شکل ۳: A) ولتاوری پالس تفاضلی الکترود کرین شیشه‌ای اصلاح شده با پلی آرژینین/کیتوسان/نقطاًت کوانتمومی گرافنی برای تعیین مالون دی آلدید در بافر فسفات ۱/۰ مولار با  $pH = 7/4$  در غلظت‌های: ۵۹۴، ۰/۰۰۰۰۴۱۶، ۰/۰۰۰۰۲۹۱، ۰/۰۰۰۰۲۹۱، ۰/۰۰۰۰۲۹۱ میکرومولار. B) منحنی کالیبراسیون مالون دی آلدید در غلظت‌های ذکر شده در بالا. C) منحنی کالیبراسیون مالون دی آلدید در غلظت‌های پایین.

می‌تواند فرصت‌های جدیدی را برای گسترش استفاده کاربردی پلی‌آمینواسیدها در زمینه سنجش الکتروشیمیایی باز کند. همچنین، اندازه گیری مالون دی آلدید، در نمونه بازدم انسانی مایع شده، جمع آوری شده توسط سیستم خنک کننده هوای بازدم، به عنوان یک تکنیک جدید استفاده گردید که به عنوان روشی غیرتهاجمی و با توجه به سایر مزیت‌های آن نسبت به خون، سرم، ادرار و در تشخیص بیماری‌های مختلف مورد استفاده قرار گرفته است. برای تشخیص مالون دی آلدید در بازدم انسانی مایع شده از نمونه بازدم مایع شده فرد سالم، ۴ غلظت مختلف مالون دی آلدید به وسیله محلول استاندارد آماده گردید و نتایج بدست آمده در جدول ۱ آورده شده است.

### قدرتانی

نویسنده‌گان این مقاله مراتب قدردانی خود را از مؤسسه ملی توسعه تحقیقات علوم پزشکی ایران (NIMAD) با شماره گرن特 ۹۶/۹۴۳ به جهت حمایت‌های مالی از این پژوهش اعلام می‌دارد. همچنین از کلیه دست‌اندرکاران این مقاله که در بخش تجربی و نوشتمندانه مشارکت داشتند تشکر و قدردانی می‌شود.

### ملاحظات اخلاقی

عدم وجود کارآزمائی بالینی

### منابع مالی

حمایت مالی از این طرح تحقیقاتی از طرف مرکز تحقیقات کاربردی داروئی صورت پذیرفته است.

### منافع متقابل

مؤلف اظهار می‌دارد که منافع متقابلی از تالیف یا انتشار این مقاله ندارد.

### مشارکت مؤلفان

ف. م. ح. ا. م. ن. ش طراحی، اجرا و تحلیل نتایج مطالعه را بر عهده داشت. همچنین نامبرگان مقاله را تالیف نموده و نسخه نهایی آن را خوانده و تایید کرده‌اند.

### References

- Zamani-Kalajahi M, Hasanzadeh M, Shadjou N, Khoubnasabjafari M, Ansarin K, Jouyban-Gharamaleki V, et al. Electrodeposition of taurine on gold surface and electro-oxidation of malondialdehyde *Surf Eng* 2015; **31**(3): 194-201. doi: 10.1179/1743294414Y.0000000349
- Yin H, Xu L, Porter N A. Free radical lipid peroxidation: mechanisms and analysis. *Chem Rev* 2011; **111**(10): 5944-5972. doi: 10.1021/cr200084z
- Ayala A, Muñoz M F, Argüelles S. Lipid peroxidation: production, metabolism, and signaling mechanisms of malondialdehyde and 4-hydroxy-2-

هوای بازدم مایع شده (EBC)، جمع آوری شده توسط سیستم خنک کننده هوای بازدم تحت شرایط تنفس عادی فرد داوطلب، یک تکنیک جدید می‌باشد که به عنوان روشی غیرتهاجمی و با توجه به سایر مزیت‌های آن نسبت به خون، سرم، ادرار و در تشخیص بیماری‌های مختلف مورد استفاده قرار گرفته است. برای تشخیص مالون دی آلدید در بازدم انسانی مایع شده از نمونه بازدم مایع شده فرد سالم، ۴ غلظت مختلف مالون دی آلدید به وسیله محلول استاندارد آماده گردید و نتایج بدست آمده در جدول ۱ آورده شده است.

جدول ۱: نتایج مشاهده شده برای تشخیص مالون دی آلدید در نمونه هوای بازدم مایع شده انسانی به وسیله الکترود کربن شیشه‌ای اصلاح شده با پلی‌آرژینین/کیتوسان/نقاط کوانتمومی گرافنی

سیکنال/میکرو مولار	غلظت/میکرو مولار
۲/۷۳	۲/۷۳
۰/۴۵۸	۳/۱
۰/۳۰۸	۵۳
۰/۲۰۱	۷۶

### نتیجه گیری

به طور خلاصه در این مطالعه کاربرد الکتروشیمیایی الکترود کربن شیشه‌ای اصلاح شده با نانوکامپوزیت پلی‌آرژینین/کیتوسان/نقاط کوانتمومی گرافنی (PARG/CS/GQDs) برای اندازه گیری مالون دی آلدید در نمونه‌های بازدم انسانی برسی شد. فیلم نازک پلی‌آرژینین/کیتوسان/نقاط کوانتمومی گرافنی، مزایای پلی‌آرژینین (به عنوان یک نانوبیوپلیمر نیمه‌رسان)، نقاط کوانتمومی گرافنی (دارای هدایت الکتریکی عالی) و کیتوسان (به عنوان یک عامل زیست سازگار) را با هم ترکیب می‌کند. از همه مهمتر، از نانو حسگر پیشنهادی برای تعیین مقدار مالون دی آلدید در pH فیزیولوژیک، بدون نیاز به پیش تیمار نمونه یا هر نوع فرایند استخراج یا تبخیر زمان برو، با نتایج رضایت بخش استفاده شد. نتایج نشان دادند که، ترکیبی از پلی‌آمینواسیدها با نقاط کوانتمومی گرافنی و کیتوسان

nonenal. *Oxid Med Cell Longev* 2014; **2014**: 23-28. doi: 10.1155/2014/360438

- Tsikas D. Assessment of lipid peroxidation by measuring malondialdehyde (MDA) and relatives in biological samples: Analytical and biological challenges. *Anal Biochem* 2017; **524**: 13-30. doi: 10.1016/j.ab.2016.10.021
- Yuan L, Lan Y, Han M, Bao J, Tu W, Dai Z. Label-free and facile electrochemical biosensing using carbon nanotubes for malondialdehyde detection. *Analyst* 2013; **138**(11): 3131-3134. doi: 10.1039/c3an00041a

6. Chen X, Ma Y, Chen D, Ma M, Li C. Electrochemical fabrication of polymerized imidazole-based ionic liquid bearing pyrrole moiety for sensitive determination of hexestrol in chicken meat. *Food chem* 2015; **180**: 142-149. doi: 10.1016/j.foodchem.2015.02.038
7. Shahrokhan S, Karimi M, Khajehsharifi H. Carbon-paste electrode modified with cobalt-5-nitrosalophen as a sensitive voltammetric sensor for detection of captopril. *Sens Actuators B Chem* 2005; **109**(2): 278-284. doi: 10.1016/j.snb.2004.12.059
8. Sun H, Wu L, Wei W, Qu X. Recent advances in graphene quantum dots for sensing. *Mater Today* 2013; **16**(11): 433-442. doi: 10.1016/j.mattod.2013.10.020
9. Tang H, Yan F, Lin P, Xu J, Chan H L. Highly sensitive glucose biosensors based on organic electrochemical transistors using platinum gate electrodes modified with enzyme and nanomaterials. *Adv Funct Mater* 2011; **21**(12): 2264-2272. doi: 10.1002/adfm.201002117
10. Wang K, Sun Z, Feng M, Liu A, Yang S, Chen Y, et al. Design of a sandwich-mode amperometric biosensor for detection of PML/RAR $\alpha$  fusion gene using locked nucleic acids on gold electrode. *Biosens Bioelectron* 2011; **26**(6): 2870-2876. doi: 10.1016/j.bios.2010.11.030
11. Beitollahi H, Sheikhshoae I. Electrochemical behavior of carbon nanotube/Mn (III) salen doped carbon paste electrode and its application for sensitive determination of N-acetylcysteine in the presence of folic acid. *Int J Electrochem Sci* 2012; **7**: 7684-7698.
12. Cosnier S. Biosensors based on immobilization of biomolecules by electrogenerated polymer films. *Appl Biochem Biotechnol* 2000; **89**(2-3): 127-138.
13. Lupu S, del Campo F J, Muñoz F X. Development of microelectrode arrays modified with inorganic-organic composite materials for dopamine electroanalysis. *J Electroanal Chem* 2010; **639**(1): 147-153. doi: 10.1016/j.jelechem.2009.12.003
14. Niu L, Lian K, Kang W, Li S. Characterization of poly (safranine T)-modified electrode and application for simultaneous determination of epinephrine and uric acid coexisting with ascorbic acid. *J Braz Chem Soc* 2011; **22**(2): 204-210. doi: 10.1590/S0103-50532011000200003
15. Areias MC, Shimizu K, Compton RG. Voltammetric detection of captopril using copper (II) and an unmodified glassy carbon electrode. *Electroanalysis* 2016; **28**(7): 1524-1529. doi: 10.1002/elan.201501156
16. Lu S, Lu P, Li C, Wang C, Yu J. Highly improved electrooxidation of captopril on copper hexacyano ferrate/ordered mesoporous carbon-modified glassy carbon electrode. *Aust J Chem* 2014; **67**(6): 851-857. doi: 10.1071/CH13650
17. Noroozifar M, Khorasani-Motlagh M, Nadiki H H, Hadavi M S, Foroughi M M. Modified fluorine-doped tin oxide electrode with inorganic ruthenium red dye-multiwalled carbon nanotubes for simultaneous determination of a dopamine, uric acid, and tryptophan. *Sens Actuators B Chem* 2014; **204**: 333-341. doi: 10.1016/j.snb.2014.07.060
18. Jian X, Liu X, Yang H-m, Guo M-m, Song X-l, Dai H-y, et al. Graphene quantum dots modified glassy carbon electrode via electrostatic self-assembly strategy and its application. *Electrochim Acta* 2016; **190**: 455-462. doi: 10.1016/j.electacta.2016.01.045
19. Zhang P, Zhao X, Ji Y, Ouyang Z, Wen X, Li J, et al. Electrospinning graphene quantum dots into a nanofibrous membrane for dual-purpose fluorescent and electrochemical biosensors. *J Mater Chem B* 2015; **3**(12): 2487-2496. doi: 10.1039/C4TB02092H
20. Hasanzadeh M, Karim-Nezhad G, Shadjou N, Hajjizadeh M, Khalilzadeh B, Saghatforoush L, et al. Cobalt hydroxide nanoparticles modified glassy carbon electrode as a biosensor for electrooxidation and determination of some amino acids. *Anal Biochem* 2009; **389**(2): 130-137. doi: 10.1016/j.ab.2009.03.024
21. Zhao J, Chen G, Zhu L, Li G. Graphene quantum dots-based platform for the fabrication of electrochemical biosensors. *Electrochim commun* 2011; **13**(1): 31-33. doi: 10.1016/j.elecom.2010.11.005
22. Li Y, Wu K, Zhitomirsky I. Electrodeposition of composite zinc oxide-chitosan films. *Colloids Surf A Physicochem Eng Asp* 2010; **356**(1): 63-70. doi: 10.1016/j.colsurfa.2009.12.037
23. Lei L, Cao Z, Xie Q, Fu Y, Tan Y, Ma M, et al. One-pot electrodeposition of 3-aminopropyltriethoxysilane-chitosan hybrid gel film to immobilize glucose oxidase for biosensing. *Sens Actuators B Chem* 2011; **157**(1): 282-289. doi: 10.1016/j.snb.2011.03.063
24. Zeng X, Li X, Xing L, Liu X, Luo S, Wei W, et al. Electrodeposition of chitosan-ionic liquid-glucose oxidase biocomposite onto nano-gold electrode for amperometric glucose sensing. *Biosens Bioelectron* 2009; **24**(9): 2898-2903. doi: 10.1016/j.bios.2009.02.027
25. Hasanzadeh M, Shadjou N, Marandi M. Graphene quantum dot functionalized by chitosan and beta-cyclodextrin as a new support nanocomposite material for efficient methanol electrooxidation. *J Alloys Compd* 2016; **688**: 171-186. doi: 10.1016/j.jallcom.2016.07.202
26. Ou J, Tao Y, Xue J, Kong Y, Dai J, Deng L. Electrochemical enantiorecognition of tryptophan enantiomers based on graphene quantum dots-chitosan composite film. *Electrochim commun* 2015; **57**: 5-9. doi: 10.1016/j.elecom.2015.04.004
27. Shadjou N, Hasanzadeh M, Marandi M, Hasanzadeh A. Graphene quantum dot functionalized by chitosan

- as an electrically conductive nano-material toward low potential detection: a new platform for interface science. *J Mater Sci* 2016; **27**(11): 11834-11843. doi: 10.1007/s10854-016-5324-5
28. Risby T H, Solga S. Current status of clinical breath analysis. *Appl Phys B* 2006; **85**(2): 421-426. doi: 10.1007/s00340-006-2280-4
29. Guentsch A, Preshaw P M, Bremer-Streck S, Klinger G, Glockmann E, Sigusch B W. Lipid peroxidation and antioxidant activity in saliva of periodontitis patients: effect of smoking and periodontal treatment. *Clin Oral Investig* 2008; **12**(4): 345. doi: 10.1007/s00784-008-0202-z
30. Syslová K, Kačer P, Kuzma M, Najmanová V, Fenclová Z, Vlčková Š, et al. Rapid and easy method for monitoring oxidative stress markers in body fluids of patients with asbestos or silica-induced lung diseases. *J Chromatogr B* 2009; **877**(24): 2477-2486. doi: 10.1016/j.jchromb.2009.06.008